

## • 论 著 •

# 第 19 天微小残留病与急性 B 淋巴细胞白血病患儿预后的关系分析

辛 聪,密 鑫,潘俞夙,郭 雷,王勇超,高吉照<sup>△</sup>

徐州医科大学附属医院儿科血液与肿瘤病区,江苏徐州 221006

**摘要:**目的 探究第 19 天(D19)微小残留病(MRD)与急性 B 淋巴细胞白血病(B-ALL)患儿预后的关系及与相关生物学改变的联系。方法 统计 2016 年 4 月至 2020 年 4 月于该院初诊且符合入组条件的 88 例 B-ALL 患儿诱导治疗 D19 MRD、总生存(OS)率、无事件生存(EFS)率、染色体核型、融合基因和突变基因,以  $MRD \geq 0.01\%$  为阳性,将入选儿童分为 MRD 阳性组和 MRD 阴性组,比较两组 3 年 OS 率、EFS 率、免疫表型和分子生物学/细胞遗传学特点。结果 88 例患儿 3 年 OS 率和 EFS 率分别为 92.0% 和 86.4%,MRD 阳性组 OS 率及 EFS 率均低于阴性组,差异有统计学意义( $P < 0.05$ )。MRD 阳性组 CD10 检出率低于 MRD 阴性组,差异有统计学意义( $P < 0.05$ )。32 例(36.4%)患儿检出 8 种 35 个融合基因。MRD 阳性组中 BCR-ABL1、E2A-PBX1 检出率均高于 MRD 阴性组,差异有统计学意义( $P < 0.05$ );48 例(54.5%)患儿检出 41 种 91 个突变基因,余突变基因均少于 5 例;18 例(20.5%)患儿检出异常染色体核型,17 例无核分裂相,正常和异常核型 MRD 无区别。二分类 Logistic 回归分析显示,BCR-ABL1、E2A-PBX1 均是 B-ALL 患儿预后的影响因素( $P < 0.05$ )。结论 D19 MRD 阳性是 B-ALL 患儿 OS 和 EFS 不良的影响因素,E2A-PBX1、BCR-ABL1 均对 B-ALL 患儿预后有不良影响。

**关键词:**急性 B 淋巴细胞白血病; 免疫表型; 微小残留病; 儿童

**DOI:**10.3969/j.issn.1673-4130.2025.01.009

**中图法分类号:**R725.5

**文章编号:**1673-4130(2025)01-0038-06

**文献标志码:**A

## Relationship between minimal residual disease on the 19th day and prognosis of children with acute B-lymphoblastic leukemia

XIN Cong, MI Xin, PAN Yusu, GUO Lei, WANG Yongchao, GAO Jizhao<sup>△</sup>

Department of Pediatric Hematology and Oncology, Affiliated Hospital of Xuzhou Medical University, Xuzhou, Jiangsu 221006, China

**Abstract: Objective** To explore the relationship between minimal residual disease (MRD) on the 19th day (D19) and prognosis of children with acute B-lymphoblastic leukemia (B-ALL), as well as the correlation with related biological changes. **Methods** A total of 88 children with B-ALL newly diagnosed in this hospital from April 2016 to April 2020 who met the enrollment conditions were analyzed for induction therapy D19 MRD, overall survival (OS) rate, event-free survival (EFS) rate, chromosome karyotype, fusion gene and mutation gene.  $MRD \geq 0.01\%$  was considered positive, and they were divided into MRD positive group and MRD negative group. The characteristics of OS rate, EFS rate, immunophenotype and molecular biology/cytogenetics were compared between the two groups over a period of 3 years. **Results** The 3-year OS rate and EFS rate of 88 pediatric patients were 92.0% and 86.4%, respectively. The rates of OS rate and EFS rate in MRD positive group were lower than those in MRD negative group, with statistical significance ( $P < 0.05$ ). The detection rate of CD10 in MRD positive group was lower than that in MRD negative group, and the difference was statistically significant ( $P < 0.05$ ). Thirty-two patients (36.4%) detected 8 types of 35 fusion genes. The detection rates of BCR-ABL1 and E2A-PBX1 in MRD positive group were higher than those in MRD negative group, and the differences were statistically significant ( $P < 0.05$ ). Among 48 cases (54.5%) of pediatric patients, 41 types of 91 mutated genes were detected, and the remaining mutated genes were less than 5 cases. Abnormal karyotype was detected in 18 cases (20.5%), and no mitotic phase was detected in 17 cases. There was no difference in MRD between normal and abnormal karyotype. Binary Logistic regression analysis showed that BCR-ABL1 and E2A-PBX1 were prognostic factors of children with B-ALL. **Conclusion** The

作者简介:辛聪,男,医师,主要从事儿童血液与肿瘤方面研究。<sup>△</sup> 通信作者,E-mail:xz3765595@163.com。

网络首发 <http://kns.cnki.net/kcms/detail/50.1176.R.20241203.1848.002.html>(2024-12-04)

positive D19 MRD is the influential factor of adverse OS and EFS in children with B-ALL. Both E2A-PBX1 and BCR-ABL1 have adverse effects on the prognosis of children with B-ALL.

**Key words:** acute B-lymphoblastic leukemia; immunophenotype; minimal residual disease; child

急性淋巴细胞白血病是儿童发病率最高的白血病,而急性B淋巴细胞白血病(B-ALL)是最为常见的亚型,5年总生存(OS)率可达90%以上,但仍有10%~20%不缓解或复发/难治,部分最终死亡<sup>[1]</sup>。影响儿童白血病预后的因素众多,细胞遗传学/分子生物学改变的影响越来越受到重视,但许多改变的意义不明。当诱导缓解达骨髓完全缓解(CR)时体内尚有大量白血病细胞( $10^8 \sim 10^9/L$ )<sup>[2]</sup>,目前主张采用微小残留病(MRD)评估复发和预后,灵敏度达 $10^{-4}$ 甚至 $10^{-6}$ <sup>[3]</sup>。然而,分子生物学/细胞遗传学改变与MRD间关系的相关报道较少。本研究通过回顾性分析,探讨第19天(D19)MRD对儿童B-ALL预后的影响,以及与分子生物学/细胞遗传学特征的关系。

## 1 资料与方法

**1.1 一般资料** 统计2016年4月至2020年4月于本院初诊的109例B-ALL儿童诱导治疗的D19 MRD、OS率、无事件生存(EFS)率、免疫表型、染色体核型、融合基因和突变基因。纳入标准:(1)年龄0~14岁;(2)按照《CCCG-ALL 2015,儿童急性淋巴细胞白血病多中心临床研究进展报告——迄今为止我国最大的注册儿童 ALL 多中心临床研究》(以下简称《CCCG-ALL 2015 方案》)<sup>[4]</sup>诊断及治疗;(3)完成随访。排除标准:(1)既往有肿瘤疾病史;(2)治疗前使用过激素或细胞毒性药物;(3)未行D19 MRD评估、放弃治疗或转院。本研究共纳入88例符合纳入标准的儿童,其中男53例,女35例,年龄3个月至14岁,中位年龄6岁。随访截止时间为2023年5月31日。本研究获得徐州医科大学附属医院伦理委员会批准。

**1.2 方法** 以D19 MRD $\geq 0.01\%$ 为阳性,将入选患者分为MRD阳性组和MRD阴性组<sup>[5]</sup>,比较两组OS率、EFS率和符合统计条件的分子生物学/细胞遗传学资料。采用瑞氏染色法检测骨髓细胞形态,流式细胞术(FMC)检测免疫表型和MRD,R显带检测染色体核型,荧光定量PCR(qPCR)/荧光原位杂交(FISH)法检测融合基因,NGS法检测突变基因。

**1.3 统计学处理** 采用SPSS26.0统计软件进行数据分析。计数资料以例数或百分率表示,组间比较采用 $\chi^2$ 检验(Pearson  $\chi^2$ 检验或连续校正  $\chi^2$ 检验)。对单因素分析差异有统计学意义的项目行二分类 Logistic 回归分析,采用 Kaplan-Meier 绘制生存曲线,Log-rank 法进行生存分析。以  $P < 0.05$  为差异有统计学意义。

## 2 结 果

**2.1 MRD与预后的关系** 88例患儿3年OS率为

92.0%,EFS率为86.4%。见图1。MRD阳性组3年OS率(80.0%)和EFS率(68.0%)均低于阴性组(96.8%、93.6%),差异均有统计学意义( $P < 0.05$ )。见图1、2、3。

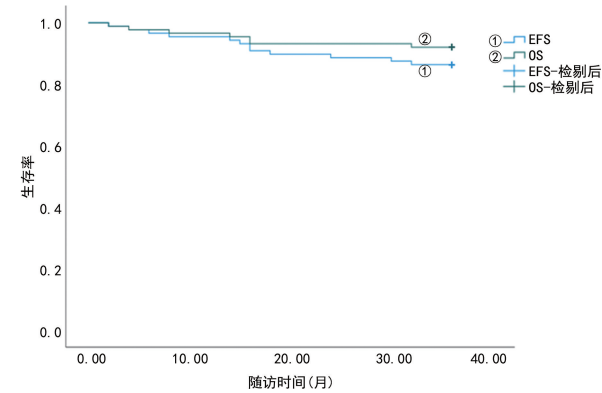


图1 88例患儿的OS率和EFS率

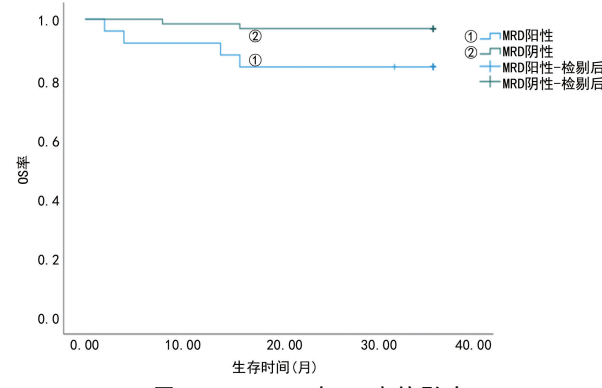


图2 MRD对OS率的影响

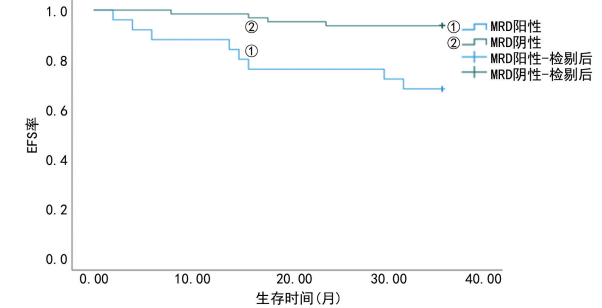


图3 MRD对EFS率的影响

**2.2 D19 MRD与免疫表型的关系** MDR阳性组CD10检出率低于MRD阴性组,差异有统计学意义( $P < 0.01$ )。见表1。

**2.3 分子生物学/细胞遗传学改变** 88例患儿中,32例(36.36%)检出8种35个融合基因,见图4。48例(54.55%)检出41种91个突变基因,见图5。18例(20.45%)检出染色体核型异常,均有结构异常,8例数量异常,小于46条1例,大于46条7例,复杂核型5例,17例无核分裂相,53例正常核型。见表2。

表1 免疫表型比较[n(%)]

免疫表型	MRD 阳性组	MRD 阴性组	$\chi^2$	P
CD10 <sup>+</sup>	19(24.4)	59(75.6)	3.922	0.048
CD10 <sup>-</sup>	6(60.0)	4(40.0)		
CD20 <sup>+</sup>	5(35.7)	9(64.3)	0.114	0.736
CD20 <sup>-</sup>	20(27.0)	54(73.0)		
CD45 <sup>+</sup>	9(28.1)	23(71.9)	0.002	0.964
CD45 <sup>-</sup>	16(28.6)	40(71.4)		
CD13 <sup>+</sup>	4(36.4)	7(63.6)	0.072	0.789
CD13 <sup>-</sup>	21(27.3)	56(72.7)		
CD33 <sup>+</sup>	7(33.3)	14(66.7)	0.329	0.566
CD33 <sup>-</sup>	18(26.9)	49(73.1)		
CD34 <sup>+</sup>	18(27.3)	48(72.7)	0.168	0.682
CD34 <sup>-</sup>	7(31.8)	15(68.2)		
HLA-DR <sup>+</sup>	20(31.7)	43(68.3)	1.214	0.271
HLA-DR <sup>-</sup>	5(20.0)	20(80.0)		
CD123 <sup>+</sup>	15(35.7)	27(64.3)	2.108	0.147
CD123 <sup>-</sup>	10(21.7)	36(78.3)		

■ TEL-AML1 ■ BCR-ABL1 ■ E2A-PBX1  
 ■ MLL-AF4 ■ MLL-AF9 ■ DUX4-IGH  
 ■ CDKN2A-PPP2R2C ■ ERG-LINCO1423

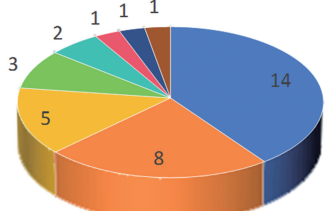


图4 融合基因

■ KRAS ■ NRAS ■ WT1 ■ FLT3 ■ IKZF1  
 ■ NOTCH1 ■ TP53 ■ KMT2D ■ PAX5 ■ FBXW7  
 ■ FAT1 ■ IL7R ■ PTEN ■ NTSC2 ■ SH2B3  
 ■ NOL4L ■ FBN3 ■ KDM6A ■ JAK3 ■ NRXN1  
 ■ AKT1 ■ CCND3 ■ ZEB2 ■ ALK ■ ASXL1  
 ■ BRAF ■ ARID58 ■ FBXW7 ■ RELN  
 ■ CREEP ■ WHSC1 ■ FGFR2 ■ CRLF2 ■ DCLRE1C  
 ■ EZH2 ■ SAP130 ■ DDX3X ■ ID3 ■ SETD2  
 ■ UNC13D

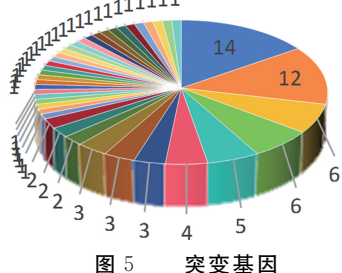


图5 突变基因

## 2.4 MRD 与分子生物学/细胞遗传学改变的关系

MRD 阳性组 BCR-ABL1、E2A-PBX1 检出率均高于 MRD 阴性组, 差异有统计学意义 ( $P < 0.05$ )。见表 3。

**2.5 Logistic 回归分析** 对单因素分析差异有统计学意义的项目 BCR-ABL1、E2A-PBX1、CD10 行二分类 Logistic 回归分析, 结果显示, BCR-ABL1、E2A-

PBX1 均是 B-ALL 患儿预后的影响因素 ( $P < 0.05$ )。见表 4。

表2 异常染色体核型

序号	异常染色体核型
1	46,XY,6q-,8q-,der(11),? 13,-17,,21p+,+mar(1)/46,XY(2)
2	47,XY,+2,t(9;22)(q34;q11)(10)
3	45,XY,inv(3)(q21q26),-8,t(9;22)(q34;q11),add(11)(q25)(10)
4	46,XY,i(9)(q10),t(9;22)(q34;q11)
5	46,XX,t(9;22)(q34,q11)(20)
6	46,XX,3q-,t(9;22)(q34;q11)
7	46,XY,t(1;19)(q23;p13)
8	46,XX,t(4;11)(q21;q23)(2)/46,XX(7)
9	46,XX,t(9;11)(p22;q23)(4)/46,XX(3)
10	41-48,XY,-8,der(9)del(9)p22)t(9;22)(q34;q11),? del(11)(q23),der(22)t(9;22),+mar1,+mar2,inc(cp13)
11	46,XX,? 9p-(4)/47,idem,+21(6)
12	47,XY,+22(9)/46,XY(1)
13	46,X,der(X),13q-,20q-(CP8)/46,XX(2)
14	47,XX,-20,+21,+21,inc(5)/46,XX(15)
15	46,XX,2q-,9q+,12p+,inc(4)/46,XX(8)
16	47,XY,+22(9)/46,XY(1)
17	48,XX,+del(1)(q21),del(6)(q21q22),del(12)(p11.2p12),+21/46,XX
18	46,XY,t(6;7)(q15;p22),? t(8;14)(q24;q32)(4)/46,XY,t(6;7)(q15;p22),8q-(1)/46,XY,8q-,17q+(1)/51,X,-Y,+1,+7,8q-,+8q-,+13,-14,+15,+19,+21(1)/46,XY(3)

表3 MRD 与分子生物学/细胞遗传学改变的关系[n(%)]

项目	MRD 阳性组	MRD 阴性组	$\chi^2$	P
TEL-AML1 <sup>+</sup>	3(21.4)	11(78.6)	0.095	0.758
TEL-AML1 <sup>-</sup>	22(29.7)	52(70.3)		
E2A-PBX1 <sup>+</sup>	4(80.0)	1(20.0)	4.509	0.034
E2A-PBX1 <sup>-</sup>	21(25.3)	62(74.7)		
BCR-ABL1 <sup>+</sup>	6(75.0)	2(25.0)	7.041	0.008
BCR-ABL1 <sup>-</sup>	19(23.6)	61(76.4)		
MLLr <sup>+</sup>	3(60.0)	2(40.0)	1.215	0.270
MLLr <sup>-</sup>	22(26.5)	61(73.5)		
FLT3 <sup>+</sup>	1(16.7)	5(83.3)	0.037	0.848
FLT3 <sup>-</sup>	24(29.3)	58(70.7)		
NRAS <sup>+</sup>	2(16.7)	10(83.3)	0.392	0.531
NRAS <sup>-</sup>	23(30.3)	53(69.7)		
KRAS <sup>+</sup>	5(35.7)	9(64.3)	0.114	0.739
KRAS <sup>-</sup>	20(27.0)	54(73.0)		
WT1 <sup>+</sup>	4(66.7)	2(33.3)	2.835	0.092

续表 3 MRD 与分子生物学/细胞遗传学改变的关系[n(%)]

项目	MRD 阳性组	MRD 阴性组	$\chi^2$	P
WT1 <sup>-</sup>	21(25.6)	61(74.4)		
IKZF1 <sup>+</sup>	3(60.0)	2(40.0)	1.215	0.270
IKZF1 <sup>-</sup>	22(26.5)	61(73.5)		
染色体核型异常	4(23.5)	13(76.5)	0.001	0.975
染色体核型正常	15(27.8)	39(72.2)		

注:17 例无核分裂相不计入染色体核型组。

表 4 Logistic 回归分析结果

项目	OR	95%CI	P
BCR-ABL1	13.063	2.337~73.008	0.003
E2A-PBX1	15.182	1.540~149.711	0.020
CD10	0.064	0.064~1.549	0.155

注:以预测概率 0.5 为判别分类点,疾病预后的总判对率为 80.7%。

### 3 讨 论

近年来,随着儿童化治疗方案的改进、小分子靶向药物和免疫治疗的应用及造血干细胞移植技术的进步,B-ALL 患儿的预后得到极大改善。然而,当前我国仍存在 10%~20% 的 B-ALL 患儿治疗过程中存在复发难治,甚至死亡。本研究中患儿的 OS 和 EFS 与既往报道基本一致,MRD 阳性的 OS 和 EFS 均较低<sup>[1]</sup>。一项收录了 20 篇共 11 249 例儿童 ALL 的 Meta 分析表明,D19 MRD 阳性的患儿复发率高,预后较差<sup>[6]</sup>。我国在总结《CCCG-ALL 2015 方案》时发现,除 ETV6-RUNX1-ALL 外,其他初诊低危患儿复发率按 D19 MRD <0.01%、0.01~0.09%、0.10%~0.99% 和 ≥1% 分层依次升高<sup>[4]</sup>,故《CCCG-ALL 2020 方案》建议,在诱导缓解治疗中给予 D19 MRD>0.1% 的低危和>0.01% 的中/高危患儿 CAT+早期强化,彰显了其在儿童 ALL 复发、预后评估中的重要意义。

MRD 阴性患儿呈现出较高的 CD10 表达,这提示在《CCCG-ALL 2015 方案》下,CD10 表达与 MRD 水平相关。CD10 是一种中性肽链内切酶,多表达于各种造血细胞、发生中心 B 细胞及一些胸腺细胞,可以通过水解刺激 B 细胞分化的肽类物质,使 B 细胞的分化发生下调<sup>[7]</sup>。有研究认为 CD10 高表达患儿预后较好是其削弱了 CD20 对化疗的不良影响所致<sup>[8]</sup>。CD10 表达水平也与染色体异常高度相关,阳性的 B-ALL 患儿常伴超二倍体改变,此类患儿对细胞毒药物治疗敏感,可能是早期疗效较好的原因之一<sup>[9]</sup>。

融合基因检出率低于国内报道的 47.8%<sup>[10]</sup>,可能是由样本量、检测误差所致。检出率最高的 TEL-AML1 由 t(12;21)产生,该基因在儿童 ALL 发生率很高(20.5%),阳性患儿生存期远长于阴性儿,是儿童 ALL 的良好预后因素<sup>[11~12]</sup>。本研究显示,该融合

基因对 D19 MRD 无影响,尽管 TEL-AML1 检出率是所有融合基因中最高的,但本研究仅检出 14 例,可能是导致这一结果的原因,并不能说明该融合基因对儿童 ALL 远期预后无良好影响;其次是 BCR-ABL1,酪氨酸激酶抑制剂的应用使其 OS 率有了很大提高<sup>[13]</sup>。本研究所有 BCR-ABL1 患儿均使用伊马替尼和(或)达沙替尼,但 MRD 阳性患儿 BCR-ABL1 检出率依然较高,说明即使用了靶向药物,仍不能完全抵消该基因所带来的不良影响,这与 MERAJ 等<sup>[14]</sup>的报道一致,也有研究用吉瑞替尼取得了比伊马替尼/达沙替尼更好的效果<sup>[15]</sup>。文献报道,E2A-PBX1 发生率占儿童 ALL 的 4.7%<sup>[16]</sup>,本研究统计结果高于该报道,且有该融合基因的 MRD 阳性率较高。E2A-PBX1 能使造血干细胞或淋巴祖细胞获得自我更新的能力<sup>[17]</sup>,有报道表明 E2A-PBX1 者对糖皮质激素敏感,5 年 OS 率可达 81.6%<sup>[18]</sup>。小分子靶向药 OUL35、KJ-Pyr-9 和 CID44216842 能有效抑制伴 E2A-PBX1 的前 B-ALL 细胞增殖,相关研究仍在进行<sup>[19]</sup>。MLLr 即 KMT2Ar,本中心检出 3 例 MLL-AF4,2 例 MLL-AF9,并未发现与 MRD 水平相关。因 ERG-LINC01423、CDKN2A-PPP2R2C 和 PAX5-INIP 检出率较低,不再一一分析。

突变基因检出率低于国内报道的 60.5%<sup>[20]</sup>。RAS 突变最为常见,包括 HRAS、KRAS 和 NRAS,在儿童 B-ALL 发生率分别为 0%、10% 和 12%<sup>[21]</sup>,本中心亦未检出 HRAS。KRAS 相对较多,其是 B-ALL 儿童 OS 的独立不良预后因素<sup>[22]</sup>,但本研究未发现其对 D19 MRD 存在影响。WT1 在众多肿瘤中均有发现,利用其作为抗原进行免疫治疗(CAR-T/疫苗)的临床试验尚在进行中<sup>[23]</sup>。FLT3 检出率高于目前报道的 4.7%<sup>[24]</sup>,负性影响 B-ALL 儿童预后<sup>[25]</sup>,未发现其对 D19 MRD 存在影响,可能与使用索拉非尼有关。儿童 IKZF1 发生率在 0~15% 不等,其编码的转录因子 IKAROS 在淋巴细胞发育中起关键作用<sup>[26]</sup>。在 B-ALL 中,IKZF1 的缺失会导致 IKAROS 功能丧失,引起细胞自我更新的增强,《CCCG-ALL2015 方案》明确把有该突变的排除低危组,其他突变基因均少于 5 例。

本研究中,18 例染色体核型异常患儿均存在结构异常,t(9;22)最为常见,即 Ph+,形成 BCR-ABL1,是 D19 MRD 的不良影响因素<sup>[27]</sup>。t(4;11)和 t(9;11)形成 MLLr,有研究显示,即使非婴儿的患儿 5 年 EFS 也仅为 64%,行造血干细胞移植(HSCT)并不比单纯化治疗预后好<sup>[28]</sup>,本中心 5 例患儿目前均存活。t(1;19)形成 E2A-PBX1,仅检测到 1 例,结合上文 E2A-PBX1 对 D19 MRD 有不良影响的结果,t(1;19)应该也有不良影响,而中国台湾和巴基斯坦的 2 篇回顾性研究却并未发现该异常患儿的预后差于 TEL-AML1

或超二倍体者<sup>[29]</sup>。1例同时存在t(6;7)、t(8;14)和超二倍体。t(8;14)产生新的增强子DNA序列,加速细胞从G<sub>0</sub>/G<sub>1</sub>期向S期的转变<sup>[30]</sup>,预后较差,日本报道的10例患儿3例死亡<sup>[31]</sup>;t(6;7)的报道较少,临床意义不清楚,本研究检测到的这例同时伴i(9)(q10)及IGH重排,目前处于EFS,SRUTHI等<sup>[32]</sup>报道了1例伴i(9)(q10)及IGH重排的儿童B-ALL,认为该患儿14q13至14q32拷贝数的增加可能与疾病的发生有关。

本研究中,B-ALL患儿病死率与国内外报道相近<sup>[1]</sup>。3例D19 MRD阳性,其中2例BCR-ABL1阳性复发后均重新诱导,1例达第2次完全缓解(CR2)后行HSCT,死于急性移植物抗宿主病(aGVHD)合并感染,1例同时检测到IGH重排和IKZF1,达CR2后拒绝HSCT,缓解后再次复发放弃治疗死亡,还有1例未检测到分子生物学和细胞遗传学异常,无骨髓复发,死于粒细胞缺乏合并感染。4例D19 MRD阴性,1例TEL-AML患儿停药后2年复发,仍有TEL-AML,贝林妥欧治疗达CR2后行HSCT,3个月后再次复发,等待嵌合抗原受体T细胞(CAR-T)疗法期间死于脓毒血症。1例存在PBX5突变和IGH重排,重新诱导达CR2,死于颅内出血。2例未检测到分子生物学和细胞遗传学异常,1例2次复发,贝林妥欧达第3次完全缓解(CR3)后行HSCT,死于新冠病毒感染,1例复发后重新诱导不缓解,行CAR-T治疗依然未缓解,放弃治疗死亡。

本研究发现D19 MRD可影响儿童B-ALL预后,而BCR-ABL1及E2A-PBX1则对D19 MRD有影响。本研究同时检测出不少其他分子生物学/细胞遗传学改变,但检出率低,无法进行统计学分析,它们的意义尚不能明确;由于样本量有限,一些对儿童ALL预后有影响的改变未能得到,如TEL-AML1。因此,尚需多中心、大样本的进一步研究。

## 参考文献

- [1] INABA H, MULLIGHAN CG. Pediatric acute lymphoblastic leukemia[J]. Haematologica, 2020, 105(11): 2524-2539.
- [2] 常英军,王玥雯.微小残留病指导的急性淋巴细胞白血病免疫干预和治疗策略[J].现代免疫学,2023,43(2):89-94.
- [3] PULSIPHER M A, HAN X, MAUDE S L, et al. Next-generation sequencing of minimal residual disease for predicting relapse after tisagenlecleucel in children and young adults with acute lymphoblastic leukemia[J]. Blood Cancer Discov, 2022, 3(1): 66-81.
- [4] 沈树红,汤静燕,蔡娇阳,等. CCCG-ALL 2015,儿童急性淋巴细胞白血病多中心临床研究进展报告——迄今为止我国最大的注册儿童 ALL 多中心临床研究[C]. 中华医学会. 中华医学会第 14 次全国血液学学术会议论文集. 北京, 2016: 275-275.
- [5] 中华医学会血液学分会实验诊断学组. 急性淋巴细胞白血病微小残留病检测与临床解读中国专家共识(2023 年版)[J]. 中华血液学杂志, 2023, 44(4): 267-275.
- [6] BERRY D A, ZHOU S, HIGLEY H, et al. Association of minimal residual disease with clinical outcome in pediatric and adult acute lymphoblastic leukemia: a meta-analysis [J]. JAMA Oncol, 2017, 3(7): e170580.
- [7] OHKI K, TAKAHASHI H, FUKUSHIMA T, et al. Impact of immunophenotypic characteristics on genetic subgrouping in childhood acute lymphoblastic leukemia: Tokyo Children's Cancer Study Group (TCCSG) study L04-16[J]. Genes Chromosomes Cancer, 2020, 59(10): 551-561.
- [8] 王月芳,张鸽,江咏梅,等.免疫分型分化抗原与儿童B-ALL早期微小残留病的相关性研究[J].中国实验血液学杂志,2018,26(5):1301-1308.
- [9] DAKKA N, BELLAOUI H, BOUZID N, et al. CD10 AND CD34 expression in childhood acute lymphoblastic leukemia in Morocco: clinical relevance and outcome[J]. Pediatr Hematol Oncol, 2009, 26(4): 216-31.
- [10] 邹媛,唐远燕,杜翠,等.1058例初诊急性白血病患者46种融合基因筛查分析[J].临床检验杂志,2022,40(6):424-429.
- [11] 李宁,丁璐月,刘炜,等.341例儿童急性淋巴细胞白血病融合基因表达及临床特点分析[J].中国癌症防治杂志,2023,15(3):311-316.
- [12] JAKOBCZYK H, JIANG Y, DEBAIZE L, et al. ETV6-RUNX1 and RUNX1 directly regulate RAG1 expression: one more step in the understanding of childhood B-cell acute lymphoblastic leukemia leukemogenesis[J]. Leukemia, 2022, 36(2): 549-554.
- [13] BADAR T, ALKHATEEB H, ALJURF M, et al. Management of Philadelphia chromosome positive acute lymphoblastic leukemia in the currentera [J]. Curr Res Transl Med, 2023, 71(2): 103392.
- [14] MERAJ F, JABBAR N, NADEEM K, et al. Minimal residual disease in childhood B lymphoblastic leukemia and its correlation with other risk factors[J]. Pak J Med Sci, 2020, 36(1): S20-S26.
- [15] DEANGELO D J, JABBOUR E, ADVANI A. Recent advances in managing acute lymphoblastic leukemia[J]. Am Soc Clin Oncol Educ Book, 2020, 40: 330-342.
- [16] YIN M M, WU R C, GAO J, et al. Cytogenetic characteristics of childhood acute lymphoblastic leukemia: a study of 1541 Chinese patients newly diagnosed between 2001 and 2014[J]. Curr Med Sci, 2022, 42(1): 201-209.
- [17] YANG M, TANG Y, ZHU P, et al. The advances of E2A-PBX1 fusion in B-cell acute lymphoblastic leukaemia[J]. Ann Hematol, 2024, 103(9): 3385-3398.
- [18] ALECSA M S, MOSCALU M, TRANDAFIR L M, et al. Outcomes in pediatric acute lymphoblastic leukemia: a

- single-center romanian experience[J]. J Clin Med, 2020, 9(12):4052.
- [19] LUO H, LI Q, HONG J, et al. Targeting TNF/IL-17/MAPK pathway in hE2A-PBX1 leukemia: effects of OUL35, KJ-Pyr-9, and CID44216842[J]. Haematologica, 2024, 109(7):2092-2110.
- [20] 陈燕,祁闪闪,丁丽丽,等.儿童急性淋巴细胞白血病患者基因突变谱与预后相关性的临床研究[J].中国实验血液学杂志,2023,31(1):17-24.
- [21] VASEVA A V, YOHE M E. Targeting RAS in pediatric cancer: is it becoming a reality[J]. Curr Opin Pediatr, 2020, 32(1):48-56.
- [22] LI X, LIN S, LIAO N, et al. The RAS-signaling-pathway-mutation-related prognosis in B-cell acute lymphoblastic leukemia: a report from South China children's leukemia group[J]. Hematol Oncol, 2024, 42(3):e3265.
- [23] JIANG Y, LV X, GE X, et al. Wilms tumor gene 1 (WT1)-specific adoptive immunotherapy in hematologic diseases[J]. Int Immunopharmacol, 2021, 94:107504.
- [24] OKABE A, GUIRALES F, ZHAO D, et al. FLT3 gene involvement in B-cell acute lymphoblastic leukemia (B-ALL)[J]. J Assoc Genet Technol, 2021, 47(1):6-14.
- [25] MEDINA K L. Flt3 signaling in B lymphocyte development and humoral immunity[J]. Int J Mol Sci, 2022, 23(13):7289.
- [26] PAOLINO J, TSAI H K, HARRIS M H, et al. IKZF1 alterations and therapeutic targeting in B-cell acute lymphoblastic leukemia[J]. Biomedicines, 2024, 12(1):89.
- [27] KACZMARSKA A, ŠIIWA P, ZAWITKOWSKA J, et al. Genomic analyses of pediatric acute lymphoblastic leukemia Ph+ and Ph-like-recent progress in treatment[J]. Int J Mol Sci, 2021, 22(12):6411.
- [28] ATTARBASCHI A, MORICKE A, HARRISON C J, et al. Outcomes of childhood noninfant acute lymphoblastic leukemia with 11q23/KMT2A rearrangements in a modern therapy era: a retrospective international study[J]. J Clin Oncol, 2023, 41(7):1404-1422.
- [29] REHMAN P, QAIZI R, HAMMAD-UR-REHMAN M. Translocation t(1;19) in acute precursor B-cell lymphoblastic leukaemia in paediatric patients: Pakistani population[J]. J Pak Med Assoc, 2022, 72(9):1736-1739.
- [30] KUMARI N, DAS K, SHARMA S, et al. Evaluation of potential role of R-loop and G-quadruplex DNA in the fragility of c-MYC during chromosomal translocation associated with Burkitt's lymphoma[J]. J Biol Chem, 2023, 299(12):105431.
- [31] ATTARBASCHI A, MORICKE A, HARRISON C J, et al. Outcomes of childhood noninfant acute lymphoblastic leukemia with 11q23/KMT2A rearrangements in a modern therapy era: a retrospective international study[J]. J Clin Oncol, 2023, 41(7):1404-1422.
- [32] SRUTHI B, AHMED T, HERTADO R, et al. An isochromosome 9q: a rare event in pediatric B-ALL[J]. J Assoc Genet Technol, 2023, 49(3):127-132.

(收稿日期:2024-05-30 修回日期:2024-08-16)

(上接第 37 页)

- [9] WU M Y, LI J, LI S C, et al. Frequencies of HK $\alpha\alpha$  and anti-HK $\alpha\alpha$  alleles in Chinese carriers of silent deletional  $\alpha$ -thalassemia[J]. Hemoglobin, 2015, 39(6):407-411.
- [10] SHAMOON R P, YASSIN A K, POLUS R K, et al. Genotype-phenotype correlation of HbH disease in northern Iraq[J]. BMC Med Genetics, 2020, 21(1):203.
- [11] XU L, MAO A, LIU H, et al. Long-molecule sequencing: a new approach for identification of clinically significant DNA variants in  $\alpha$ -thalassemia and  $\beta$ -thalassemia carriers [J]. J Mol Diagn, 2020, 22(8):1087-1095.
- [12] 吕丽娜,杨灿华.地中海贫血的诊疗现状及分子生物学研究[J].医学信息,2022,35(11):33-36.
- [13] LAM J C M, LEE S Y, KOH P L, et al. Clinical and health-related quality of life outcomes of transfusion-dependent thalassaemia patients in Singapore[J]. Blood Cells Mol Dis, 2021, 88:102547.
- [14] 邱月,赵君.地中海贫血风险防控体系建设的国内外进展[J].中国计划生育学杂志,2019,27(2):264-268.
- [15] 高海明,赵彦艳.二代及三代测序技术在遗传学诊断中的应用进展[J].生物技术进展,2020,10(6):646-654.
- [16] 骆明勇,胡听听,王继成,等.基于 PCR-RDB 的地中海贫

- 血基因复合型检测方法的临床应用[J].中国优生与遗传杂志,2016,24(4):22-24.
- [17] 付月,刘文君.地中海贫血实验室诊断研究进展[J].中国实验血液学杂志,2018,26(2):631-636.
- [18] HASSAN S, BAHAR R, JOHAN M F, et al. Next-generation sequencing (NGS) and third-generation sequencing (TGS) for the diagnosis of thalassemia[J]. Diagnostics, 2023, 13(3):373.
- [19] JIANG F, MAO A, LIU Y, et al. Detection of rare thalassemia mutations using long-read single-molecule real-time sequencing[J]. Gene, 2022, 825:146438.
- [20] CHEN D, MA S, TANG X, et al. Diagnosis of the accurate genotype of HK $\alpha\alpha$  carriers in patients with thalassemia using multiplex ligation-dependent probe amplification combined with nested polymerase chain reaction[J]. Chinese Med J, 2020, 133(10):1175-1181.
- [21] 杜丽,王继成,秦丹卿,等. HK $\alpha\alpha$  地中海贫血的基因诊断及临床表型分析[J/CD].中国产前诊断杂志(电子版),2017,9(3):20-22.

(收稿日期:2024-06-16 修回日期:2024-09-11)